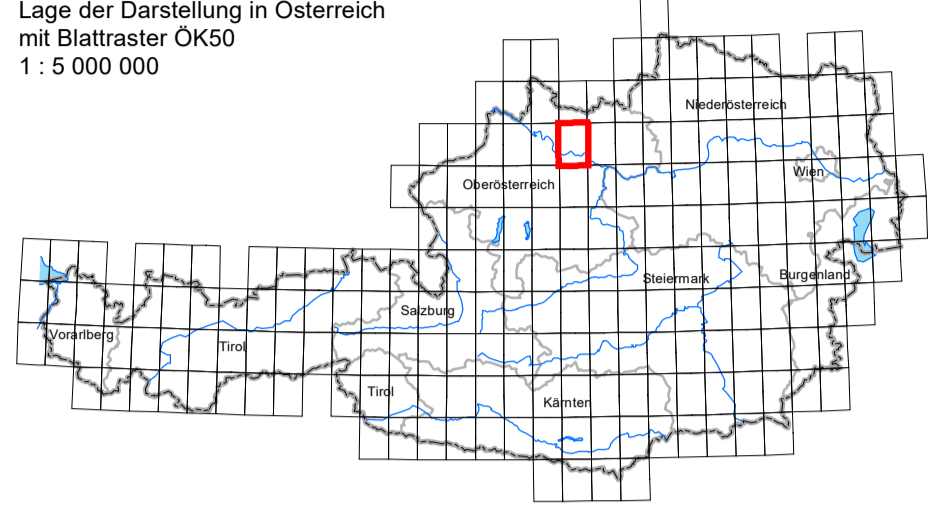
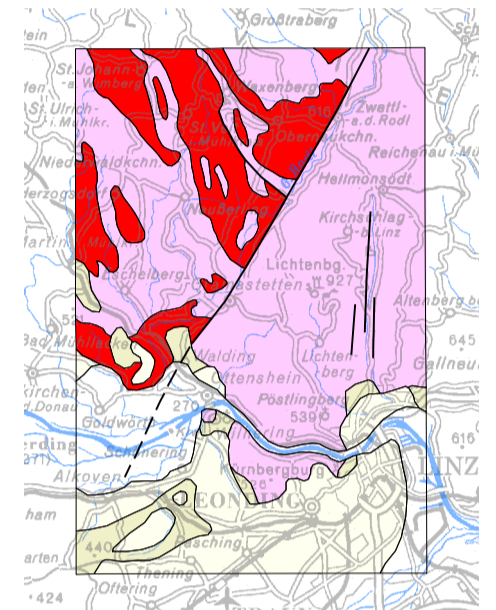


Lage der Darstellung in Österreich  
mit Blattstraster OK50  
1 : 5 000 000



Geologisch-tektonische Übersicht 1: 400 000



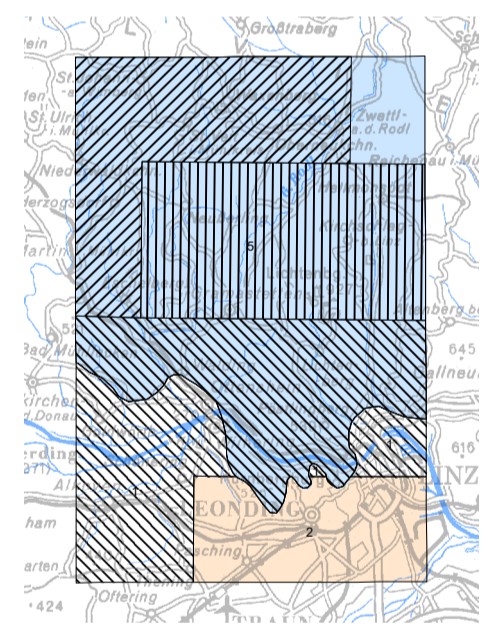
- Oberpliozäne und Quartäre Ablagerungen**
  - Quartäre Ablagerungen
    - Holozäne Ablagerungen
    - Pliozäne Ablagerungen
- Eurasische Platte**
  - Autochthone Molasse und oligozän-neogene Sedimente auf der Böhmisches Masse (Informal 2012/127)
  - Autochthone Molasse und oligozän-neogene Sedimente auf der Böhmisches Masse / Känozoische Sedimente des Europäischen Vorlandes
- Moldanubikum**
  - Südböhmischer Batholith
  - Bavarium (Bavarisches Massiv)
  - Bavarium (Bavarisches Massiv)



Bundesanstalt für Geologie, Geophysik, Klimatologie und Meteorologie

Projektbeauftragung: E. Hinterberger, Projektleitung: G. E. U. Griesmeier, Redaktion: O. Kreuz, GIS-Datenbank: I. Bayer, Layout: I. Bayer

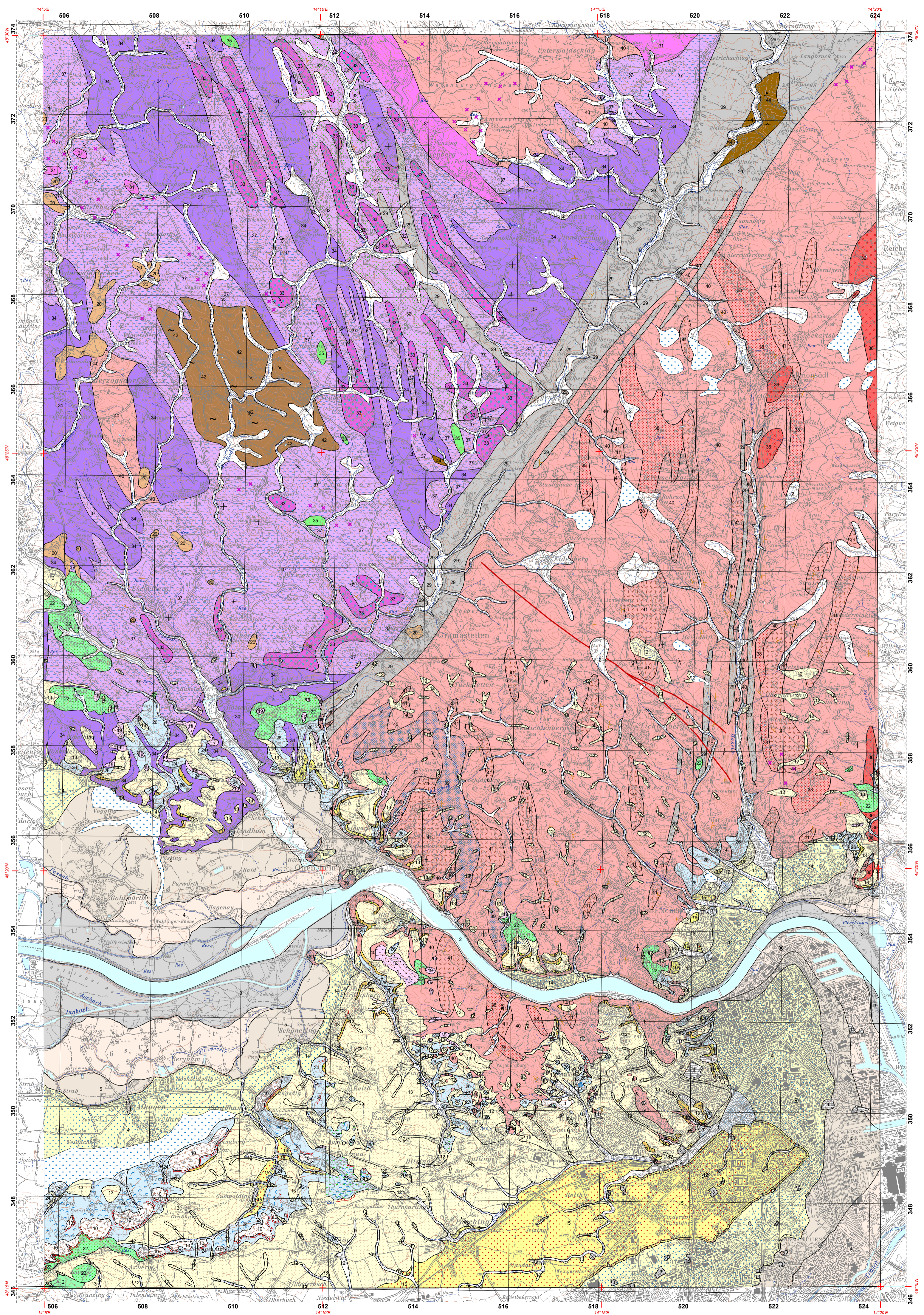
Übersicht der eingearbeiteten Karten



Kompilation:  
G. E. U. Griesmeier (GeoSphere Austria, 2023)

Unter Verwendung Laerscan: DORIS

**Hinweis für Nutzer:innen**  
GEOFAST-Karten werden überwiegend aus Archivunterlagen der GeoSphere Austria erstellt. Ergänzend können auch publizierte Karten, meist älteren Datums, in die Zusammenstellung einfließen. Eine Überprüfung durch zusätzliche Geländebegehungen erfolgt nicht. Diskontinuitäten zwischen den verwendeten Kartenunterlagen verschiedener Autoren werden bewusst beibehalten und können sich als Sprünge in den Konturlinien äußern. Geologische Inhalte werden in die aktuellen stratigraphischen und tektonischen Modelle überführt. Aufgrund der Übertragung der geologischen Inhalte von Karten mit veralteter Topografie und größeren Maßstäben in die aktuelle topografische Grundkarte sind Lagegenauigkeiten vorhanden.



- QUARTÄRE SEDIMENTE UND FORMEN**
- 1 Anthropogene Ablagerung
  - 2 Bach- und Flussablagerung
  - 3 Jüngste Austufe
  - 4 Unteres Hochflutniveau
  - 5 Oberes Hochflutniveau
  - 6 Anmoor, Hochmoor, Torfmoor
  - 7 Schwemmfächer
  - 8 Erosionskante
  - 9 Abrisskante einer Massenbewegung
  - 10 Glei Masse
  - 11 Fließmasse (Bodenkriechen)
  - 12 Soliflukations- und Flächenpflügelungs sediment, großteils in Mulden und Tälchen (Ton, Schluff, Sand, Lehm; Würm-Postglazial)
  - 13 Löss, Lösslehm (meist Würm)
  - 14 Niederterrasse (lokal mit Lehmdecke bzw. Lokalkiesüberlagerung; Würm)
  - 15 Hochterrasse (lokal mit Lehmdecke; Riß)
  - 16 Jüngere Deckenschotter (Mindel)
  - 17 Ältere Deckenschotter (mit Lehm- und Verwitterungsdecke; Günz)
  - 18 Kies von Reuhschneid-Schnellung (z.T. lehmbedeckt; Altpleistozän)
  - 19 Quarzreicher Kies (fuvialit; Pliozän - Altpleistozän)

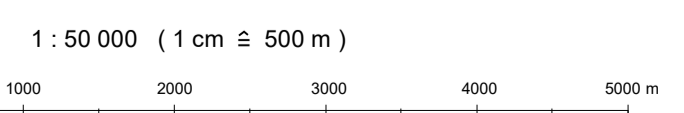
- Diverse Zeichen**
- Streichen und Fallen der Schieferung und Schichtung
- + 0 - 5°
  - ⊥ 6 - 30°
  - ± 31 - 60°
  - ↘ 61 - 85°
  - ↙ 86 - 90°
  - ↗ geneigt
- Abtauchrichtung und -winkel der Lineation
- ↑ 0-5°
  - ↑ 6-30°
- Sonstige
- Fundstelle von Fossilien
  - ⊙ Bohrung
  - ⌘ Steinbruch

- AUTOCHTHONE MOLASSE UND OLIGOZÄN-NEOGENE SEDIMENTE AUF DER BÖHMISCHEN MASSE**
- Autochthone Molasse und oligozän-neogene Sedimente auf der Böhmisches Masse / Känozoische Sedimente des Europäischen Vorlandes
- 20 Quarzreicher Kies ("Altland-Schotter"; Neogen - Frühplesiozän)
  - 21 Robulus-Schlier s.str., einschließlich basale fossilifere Zone Robulus-Schlier (Ton, Silt, Feinsand; marin; Unteres Otnangium)
  - 22 Plesching-Formation (Phosphoritsande, fossilfreie Grobsande; Unteres Otnangium)
  - 23 Hall-Formation (feinsandig-mergeliger Silt; Eggenburgium)
  - 24 Älterer Schlier (Tonsteine) mit Verwitterungsdecke (Ebersberg- und Eferding-Fm.; Egerium)
  - 25 Eferding-Formation (Silt und Tonmergel mit Dolomit-Konkretionen und -Lagen; Unteres Egerium)
  - 26 Linz-Melk-Formation (heller, teils kiesiger Grob- bis Feinsand; marin; Kiscellium - Egerium)
  - 27 Kristalline Basisblöcke ("Transgressionskonglomerat"; Kiscellium - Egerium)
  - 28 Pielach-Formation (stark siltiger Sand; Kiscellium - Egerium)

- MOLDANUBIKUM**
- 29 Mylonit, Scherzone
  - 30 Granitporphyr, Quarzdiortitporphyr

- Südböhmischer Batholith**
- 31 Feinkorngranite i.a. (fein- bis mittelkörniger, heller Biotitgranit, Granodiorit, Pennsylvanium)
  - 32 Migmatit (dunkler, inhomogen-schlieriger, magmatischer, fein- bis mittelkörniger Biotitgranit, Granodiorit und Diorit)
  - 33 Übergangszonen von Weinsberger Granit in Schlierengranit
  - 34 Weinsberger Granit (grobkörniger Biotitgranit mit idiomorphem Großkalifeldspat; Mississippium)
  - 35 Gabbro, Diorit Typ 1 (mittel- bis feinkörnig, meist Hornblende-Vormacht)

- Bavarium (Bavarisches Massiv)**
- 36 Altenberger Granit (feinkörniger, schwach deformierter S-Typ-Zweigliedmergranit, kleine Restitischollen; Pennsylvanium)
  - 37 Schlierengranit (grobkörniger Migmatit, Granit, Granodiorit, schlierig, rötlicher Großkalifeldspat, Diortischollen)
  - 38 Diatexischer Paragneis ("homogenisierter Perlgneis"; homogener, massiger, mittelkörniger Migmatit)
  - 39 Cordieritreicher Migmatit - Typ Wernstein
  - 40 Metablastischer bis metatektischer Paragneis ("Perlgneis")
  - 41 Übergangszone von Paragneis zu anatexischem Paragneis
  - 42 Herzogsdorf-Komplex (Paragneis, feinkörnig und teilweise migmatisch, mit Graphitgneis-, Amphibolit- und Marmorlagen)
  - 43 Graphit
  - 44 Paragneis "Schiefergneis" (biotitreicher Paragneis, Sillimanit, Cordierit, Granat führend, feinkörniger Biotit-Plagioklasgneis)



Gauß-Krüger-Abbildung, Koordinatensystem M 31 des Bundesmeldeamtes